www.innoist.uz

DOI: <a href="https://doi.org/10.5281/zenodo.17399386">https://doi.org/10.5281/zenodo.17399386</a>

## ПРОГНОЗИРОВАНИЕ ИНДЕКСА Z ГЕОМАГНИТНОЙ АКТИВНОСТИ НА ОСНОВЕ ВЛИЯНИЯ СИЛ ГРАВИТАЦИИ ПЛАНЕТ СОЛНЕЧНОЙ СИСТЕМЫ

### Назаров Алишер Искендерович

доцент, кафедра «Компьютерные системы» Ташкентский университет информационных технологий имени Мухаммада ал-Хоразмий alisher.nazarov.1958@mail.ru +998973434519

Аннотация - Прикладным исследованиям по влиянию геомагнитной активности на радиосвязь посвящены работы ученых во всем мире. В мировой практике проводятся исследования по разработке алгоритмов интенсивные прикладные прогнозирования индексов геомагнитной активности, с помощью которых оценивается степень воздействия магнитных бурь на устойчивость радиосвязи.

В данной статье проведена разработка модели и алгоритма прогноза индекса Z геомагнитной активности без процедур экстраполяции для оценки состояния магнитосферы на основе влияния сил гравитации планет солнечной системы.

Ключевые слова: силы гравитации, геомагнитная активность, корреляция, регрессия, модель прогноза, адекватность

## І. ВВЕДЕНИЕ

Одно из важных исследований, связанных с возмущением магнитосферы Земли при воздействии солнечного ветра, это оценка ее состояния с помощью индексов геомагнитной активности (ГМА)<sup>23</sup>. Прикладной характер геомагнитных исследований связан с прогнозированием электромагнитного состояния околоземной среды с целью уменьшения негативного воздействия солнечного ветра на работу спутниковых и наземных радиотехнических систем, а также Интенсивность солнечного излучения (числа железнодорожной автоматики. Вольфа) влияет на возмущение магнитосферы Земли, которое оценивается с помощью локального индекса К трехчасового разрешения, регистрируемый выбранной обсерватории.

На сегодняшний день отсутствует единая теория предсказания индексов ГМА, т.к. они, как правило, испытывают циклические и случайные колебания, которые ведут к непостоянству их средних величин за большие интервалы времени. Поэтому методы прогнозирования порой являются чисто эмпирико-

<sup>23</sup> Амиантов А. С., Зайцев А. Н., Одинцов В. И., Петров В. Г. Вариации магнитного поля Земли. М., 2001.

статистическими, опирающимися исключительно на всевозможные статистические связи между различными характеристиками ГМА.

В последнее время увеличивается количество работ посвященных исследованию влияния сил гравитации на природные процессы Земли.

В частности, отмечено:

- 1. Объяснение механизма пятнообразования на Солнце и приливного параметра невозмущенного воздействия планет на Солнце, может иметь непосредственное динамическое обоснование, что позволяет прогнозировать параметры новых солнечных циклов по результатам исследований приливных воздействий планет.
- 2. Корректное, в отличие от приближенной классической схемы "парных взаимодействий" Лапласа, выявление роли динамического воздействия планет в вариациях солнечного цикла позволяет предположить, что механизм, индуцирующий процесс пятнообразования на Солнце может быть обусловлен динамическим воздействием на солнечную атмосферу планет солнечной системы<sup>24</sup>.

Для определения геомагнитного возмущения используется геомагнитный эффект, который состоит в том, что на станциях в полярных областях наблюдаются суточные геомагнитные вариации в данные сутки. Наиболее ярко эта зависимость выражена в вертикальной компоненте (**Z**) геомагнитного поля на высокоширотных станциях в летний сезон в околополуденные часы по местному геомагнитному времени. В связи с этим представляется актуальным исследование вертикальной компоненте **Z**, одной из составляющей локального геомагнитного индекса К, на основе влияния сил гравитации планет солнечной системы.

В данной статье предлагается способ построения прогностической модели прогноза индекса Z, основанной на использовании гравитационных сил планет солнечной системы без процедур экстраполяции.

## Постановка задачи

Для повышения точности математического моделирования является важным проведение предварительной обработки исходных статистических данных:

- 1. Восстановление пропущенных данных и медианная обработка.
- 2. Определение корреляционных связей по критерию Пирсона.
- 3. Расчет результирующей силы гравитации планет солнечной системы и их проекций.
- 4. Построение прогностических математических моделей и выбор из них наилучшей.
  - 5. Интерпретация полученных результатов.

<sup>&</sup>lt;sup>24</sup> Константиновская Л.В. Положение планет и долгосрочное прогнозирование. — Математические методы анализа цикличности в геологии, вып.6, РАЕН, М., 1994, с.113–117.

## **II. МАТЕРИАЛ И МЕТОДЫ**

Индекс Z зависят от степени возмущения магнитосферы Земли солнечным ветром, который зависит от многих факторов, в частности, условно можно разбить на следующие категории: место наблюдения Мі, время t, изменяемое в течение суток, дата (Время года), гравитационные силы.

Таким образом, необходимо производить построение регрессионного уравнения в виде:

$$Z = f(M(i), t, Data, F(k))$$
(1)

В этом случае, математическая модель прогноза индекса Z будет зависеть от факторов, которые меняются во времени и пространстве.

Для получения однородности предлагается способ, изложенный в работе<sup>25</sup>, перечисленные категории имеют фиксированные позиции по координатам геомагнитной станции наблюдения, году, дате и часу наблюдения. Получим постоянные значения выше перечисленных параметров в фиксированных позициях.

Это приведет к однородности исходного массива данных. В результате получим уравнение вида:

$$Kp = f(F(k))$$
 (2)

Использование этого способа позволяет параметры категорий «Время», «Дата» перевести в разряд констант и повышается однородность исходной выборки данных, но построение прогностической модели индекса Z будет выполнена для каждого момента времени, дня и года в отдельности на основе гравитационных сил планет солнечной системы.

**Гравитационные силы.** Известно что, приливообразующий потенциал есть результат суммарного воздействия волн различной длины.

# Долгопериодная (зональная) волна

Вертикальное 
$$F_w^d = D(c/r)^3 \Big[ 3 \Big( \sin^2 \phi - 1/3 \Big) \Big( \sin^2 \delta - 1/3 \Big) \Big]$$
 меридианное  $F_m^d = D(c/r)^3 \Big[ -3 \sin 2\phi \Big( \sin^2 \delta - 1/3 \Big) \Big]$  параллельное  $F_p^d = 0$  Суточная (тессеральная) волна вертикальное  $F_w^s = D(c/r)^3 \Big[ \sin 2\phi \sin 2\delta \cos H \Big]$  меридианное  $F_m^s = D(c/r)^3 \Big[ -2 \cos 2\phi \sin 2\delta \cos H \Big]$ 

 $<sup>^{25}</sup>$  Назаров А.И. Прогнозирование чисел Вольфа без процедур экстраполяции.

<sup>&</sup>quot;Innovations in Science and Technologies" scientific electronic journal ISSN: 3030-3451 <a href="https://www.innoist.uz">www.innoist.uz</a>. Volume 1 6 OCTOBER, 2024.

```
www.innoist.uz
```

```
параллельное F_p^s = D(c/r)^3 [2 \sin \phi \sin 2\delta \sin H]
                          Полусуточная (секториальная) волна
вертикальное F_w^p = D(c/r)^3 \left[\cos^2\phi \cos^2\delta \cos 2H\right]
меридианное F_m^p = D(c/r)^3 \sin 2\phi \cos^2 \delta \cos 2H
параллельное F_p^p = D(c/r)^3 \left[ 2 \cos \phi \cos^2 \delta \sin 2H \right]
где: F_R^A - верхний индекс A означает тип волны: d – долгопериодная; s –
суточная; p — полусуточная; а нижний индекс B означает проекцию w — на
вертикаль; m — на меридиан; p — на параллель.
D' = 0.46051 D - постоянная Дудсона для Солнца.
D = 26277 \text{ cm}^2 / cek^2 - постоянная Дудсона для Луны.
         Расчет постоянной Дудсона для планет производится по формуле:
                                   D = 3mg_1a_1^2(a_1 + r_0)^2/4c^3
где: g_1 = 982,04 cm/cek<sup>2</sup> - ускорение свободного падения;
a_1 = 6378160 \text{ m} - средний радиус Земли;
r_0 - высота над уровнем моря места наблюдения;
c = 60,27a_1;
m = m_{ob} / m_z - отношение массы объекта к массе Земли;
для Меркурия: m = 0.005; для Венеры: m = 0.816; для Марса: m = 0.107;
для Юпитера: m = 318; для Сатурна: m = 95,1; для Урана: m = 14,6;
для Нептуна: m = 17.2; c/r - радиус — вектор
      Радиус – вектор Земля – Солнце определяется формулой:
      c/r = 1 + 0.0167301 \cos(h - p_s) + 0.000281 \sin 2(h - p_s) + 0.000005 \sin 3(h - p_s)
         Радиус – вектор Земля - Небесное тело определяется формулой:
           (Луна, Меркурий, Венера, Марс, Юпитер, Сатурн, Уран, Нептун)
     c/r = 1 + 0.055\cos(s - p) + 0.010\cos(s - 2h + p) + 0.008\cos(2s - 2h) + 0.003\cos(2s - 2p)
\phi - географическая широта места наблюдения на Земле
      Склонение Солнца определяется формулой:
                           \sin \delta = 0.406 \sin \alpha + 0.003 \sin 3\alpha
где: восхождение для Солнца \alpha = h - 0.0435 \sin 2h
      Склонение Небесного тела определяется формулой:
      \sin \delta = 0.406 \sin \alpha + 0.008 \sin 3\alpha + 0.090 \sin(\alpha - N) + 0.006 \sin(3\alpha - N)
      Восхождение для Небесного тела определяется формулой:
              \alpha = s - 0.043 \sin 2s + 0.019 \sin N - 0.019 \sin(2s - N)
     H = a\tau + bs + ch + dp + eN' + fp_s - определяет вид функции из таблиц
     где: h - средняя долгота Солнца определяется формулой:
              h = 279,69668^{\circ} + 36000,76892^{\circ} * T + 0,00030^{\circ} * T^{2}
s - средняя долгота Небесного тела
```

ДЛЯ Луны  $s = 270,43659^{0} + 481267,89057^{0} * T + 0,00198^{0} * T^{2} + 0,000002^{0} * T^{3}$ 

www.innoist.uz

```
для Меркурия s = 908103,26^{\circ} + 538106660,097^{\circ} * T + 1,0943^{\circ} * T^{2} + 0,0001^{\circ} * T^{3}
для Венеры s = 655127,283^{\circ} + 210669166,909^{\circ} * T + 1,1182^{\circ} * T^{2} + 0,0001^{\circ} * T^{3}
для Mapca s = 1279559,789^{\circ} + 68910107,309^{\circ} * T + 1,1195^{\circ} * T^{2} + 0,0001^{\circ} * T^{3}
для Юпитера s = 123665,342^{\circ} + 10930690,04^{\circ} * T + 0,8055^{\circ} * T^{2} + 0,0159^{\circ} * T^{3}
для Сатурна s = 180278,897^{\circ} + 4404639,651^{\circ} * T + 1,8703^{\circ} * T^{2}
ДЛЯ Урана s = 1130598,018^{\circ} + 1547510,602^{\circ} * T + 1,0956^{\circ} * T^{2} + 0,0001^{\circ} * T^{3}
для Нептуна s = 1095655,196^{\circ} + 791579,913^{\circ} * T + 1,1133^{\circ} * T^{2} + 0,0001^{\circ} * T^{3}
 p_s - долгота перигея Солнца
p_s = 281,22083^{\circ} + 1,71902^{\circ} * T + 0,00045^{\circ} * T^2 + 0,000003^{\circ} * T^3
р - долгота перигея Небесного тела
ДЛЯ \sqrt{1} Луны p = 334,32956^{\circ} + 4069,03403^{\circ} * T - 0,01032^{\circ} * T^2 - 0,00001 * T^3
для Меркурия p = 278842,029^{\circ} + 5603,318^{\circ} * T + 1,0652^{\circ} * T^{2} + 0,0002 * T^{3}
Для Венеры p = 473629,346^{\circ} + 5047,994^{\circ} * T - 3,8618^{\circ} * T^2 - 0,0189 * T^3
ДЛЯ Mapca p = 1209816,842^{0} + 6627,759^{0} * T + 0,4864^{0} * T^{2} + 0,001 * T^{3}
для Юпитера p = 51592,713^{\circ} + 5805,497^{\circ} * T + 3,7132^{\circ} * T^2 - 0,0159 * T^3
для Сатурна p = 335004,434^{\circ} + 7069,538^{\circ} * T + 3,015^{\circ} * T^{2} + 0,0181 * T^{3}
для Урана p = 622818,573^{\circ} + 5350,965^{\circ} * T + 0,7722^{\circ} * T^2 + 0,0015 * T^3
для Нептуна p = 1095655,196^{\circ} + 791579,913^{\circ} * T + 1,1133^{\circ} * T^{2} + 0,0001 * T^{3}
N = -N' - долгота восходящего узла Небесного тела
для Луны: N = 259,18328^{\circ} - 1934,14201^{\circ} * T + 0,00208^{\circ} * T^{2} + 0,000002 * T^{3}
для Меркурия: N = 173991,215^{\circ} + 4270,279^{\circ} * T + 0,6332^{\circ} * T^{2} + 0,0008 * T^{3}
для Венеры: N = 276047,713^{0} + 3244,033^{0} * T + 1,4639^{0} * T^{2} - 0,0003 * T^{3}
для Mapca: N = 178409,136^{\circ} + 2779,544^{\circ} * T + 0,0578^{\circ} * T^{2} + 0,0082 * T^{3}
для Юпитера: N = 361671,986^{\circ} + 3675,433^{\circ} * T + 1,4440^{\circ} * T^2 + 0,0021 * T^3
для Сатурна: N = 409195,885^{\circ} + 3157,539^{\circ} * T - 0,4347^{\circ} * T^2 - 0,0084 * T^3
для Урана: N = 266421,41^{\circ} + 1876,056^{\circ} * T + 4,8236^{\circ} * T^{2} + 0,0666 * T^{3}
для Нептуна: N = 474422,605^{\circ} + 3967,929^{\circ} * T + 0,9359^{\circ} * T^2 - 0,0022 * T^3
                                                   \tau = 360^{\circ} * T - (s - h) + 180^{\circ}
	au - указывает на тип волны
         T – время, выраженное в юлианских столетиях (первый юлианский год
```

соответствует 4713 году до н.э.)  $T = (T_j - T_{j0}) / 36525$ 

 $T_{j}$  – число суток, прошедших за период с 1 юлианского года до года исследования.

 $T_{i0}$  — число суток, прошедших за период с первого юлианского года до 1 юлианского января 1899 года.

Параметр Н – определяет вид функции. Можно произвести полное и чисто гармоническое разложение этой функции по сферическим гармоникам.

Такое разложение впервые произвел А.Т. Дудсон в 1921 г. Разложение Дудсона содержит 386 волн. В 1971 г. Д. К. Картрайтом опубликовано более полное разложение приливного потенциала, содержащее 550 волн<sup>26</sup>. Каждая из 550 волн может быть рассмотрена в проекциях на параллель, меридиан и вертикаль в их кинематических характеристиках смещение, скорость и ускорение. В общей сложности в рассмотрение может быть включено 44550 характеристик (7 планет, Луна, Солнце \* 3 проекции\* 3 кинематические характеристики\* 550 волн), которые и были использованы в качестве

**Предварительная обработка.** Вследствие того, что точность статистических оценок и адекватность математических моделей во многом определяется качеством исходных данных, была выполнена следующая предварительная обработка статистических данных:

- заполнение пробелов в таблице данных методом восстановления при помощи кубического сплайна;
  - медианная предобработка экспериментальных данных;

независимых переменных для построения моделей прогноза.

При организации робастной процедуры построения эмпирической линии регрессии с последующей параметрической идентификацией МНК приняты медианы вариационных рядов 5 оценок абсцисс и ординат.

В соответствии с медианной оценкой для упорядоченной выборки значений каждого входного параметра  $x_{j1} < x_{j2} < ... < x_{jN}; j = \overline{1,k}$  определяется число классов по правилу Старджеса  $L = \left]1 + 3,322 \, \lg N \right[$ , где  $\right] \left[$  знак округления в сторону ближайшего большего целого.

Применительно к каждому i-му выходному параметру внешней среды в каждом классе определяются медианы центров с координатами  $(x_{jl}^*, y_{ijl}^*)$ ,  $l = \overline{1,L}$ , как медианы вариационных рядов пяти оценок абсцисс  $\overline{x_{il}}, x_{il}^c, x_{il}^m, \overline{x_{il}^{0,5}}$  и орди-

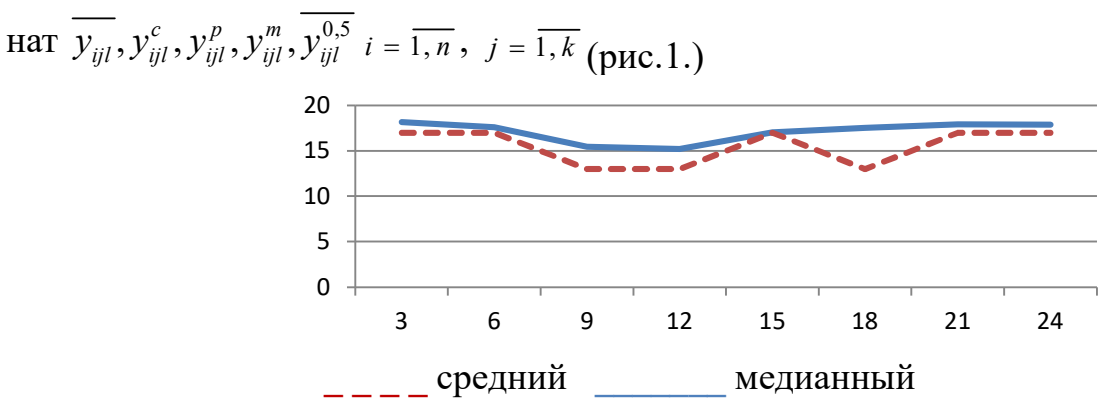


Рис.1. Медианная предобработка данных по индексу Z

**Прогностическое моделирование.** Построение моделей прогноза производилось при помощи метода наименьших квадратов в виде регрессионных уравнений. При этом использовались только те характеристики

-

<sup>&</sup>lt;sup>26</sup> Cartwright D.E., Tayler R.I. New Computations of the Tide–generating Potential. Geophys. J. Roy. Astron. Soc., 23, 45–47 (1971).

www.innoist.uz

приливообразующего потенциала с достоверной корреляционной связью со значениями индекса Z (p<0,05).

В нашем случае из кинематических характеристик в рассмотрение были включено только смещение (14850 характеристик). Чтобы исключить нарушение предположений о ранге МНК гравитационные волны были объединены в 6 групп в зависимости от проекции на меридиан (mer), параллель (par) и вертикаль (wer) результирующей гравитационной силы и характера корреляционной связи с Z (r>0, r<0): S1 (mer, r+1), S2 (mer, r-1), S3 (par, r+1), S4 (par, r-1), S5 (ver, r-1), S6 (ver, r-1).

Исходный массив индекса Z трехчасового разрешения был взят из интернет—источника Мирового Центра Данных по солнечно—земной физике: https://wdc.kugi.kyoto-u.ac.jp/index.html), за период 1938 – 1987 годы.

Общее количество замеров - 17824, получено 384 прогностических моделей вертикальной компоненты магнитного поля Z.

Прогнозирующие правила индекса Z строились в виде простой регрессии от каждой из этих сумм. За окончательный результат принималась средне—арифметическая значений простых регрессий.

Приведена модель прогноза индекса Z на 1 января 15.00:

```
Z1 = 45347,3379 + 15,4631 * Fp^{Mer+}

Z2 = 51729,7532 - 26,5472 * Fp^{Mer-}

Z3 = 45803,4272 + 20,1164 * Fp^{par+}

Z4 = 48770,71664 - 13,9281 * Fp^{par-}

Z5 = 49410,53581 + 7,11973 * Fp^{wer+}

Z6 = 47988,16939 - 7,8222436 * Fp^{wer-}

Zcp. = (Z1+Z2+Z3+Z4+Z5+Z6)/6 (3)
```

где:  $\mathrm{Fp^{Mer^+}}$  – меридианный результирующий потенциал, имеющий положительное корреляционное воздействие на индекс  $\mathrm{Z}$ ;

 ${\rm Fp^{{\scriptscriptstyle Mer}}}-$  меридианный результирующий потенциал, имеющий отрицательное корреляционное воздействие на индекс Z;

 ${\rm Fp^{par^+}}$  — параллельный результирующий потенциал, имеющий положительное корреляционное воздействие на индекс  ${\rm Z};$ 

 ${\rm Fp}^{{\rm par}\,{}^-}-{\rm параллельный результирующий потенциал, имеющий отрицательное корреляционное воздействие на индекс <math>Z$ ;

Fp<sup>wer+</sup> – вертикальный результирующий потенциал, имеющий положительное корреляционное воздействие на индекс Z;

Fp<sup>wer</sup>— вертикальный результирующий потенциал, имеющий отрицательное корреляционное воздействие на индекс Z.

В зависимости от значения индекса Z как часть индекса К производится выбор частоты передачи сигнала, обеспечивающая устойчивость радиосвязи.

О степени соответствия прогностических моделей исходным статистическим данным Z можно судить по рис. 2.

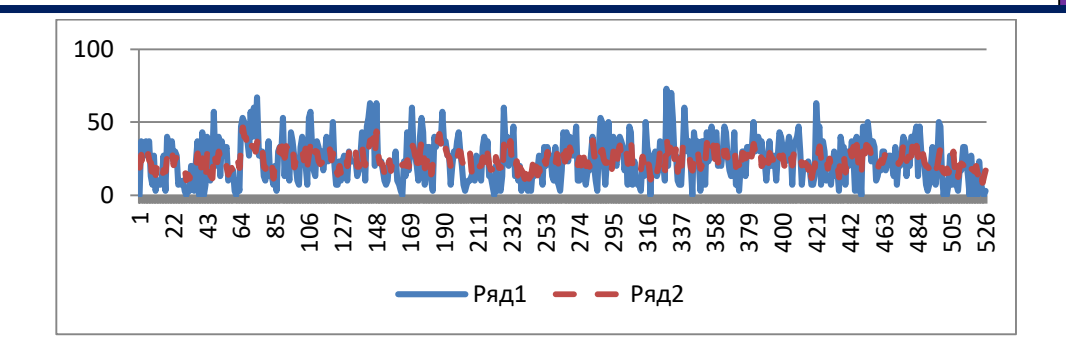


Рис.2. Графики значений индекса Z и его отклонение от реальных значений

Таблица 1. Оценка адекватности регрессионных моделей до и после медианной предобработки индекса Z

Модель	σ	$R^2$	F	p
Оценка индекса Z до медианной предобработки данных	±0,110	0,867	62,97	> 99,95
Оценка индекса Z после медианной предобработки данных	±0,102	0,999	64,07	> 99,95

Символьные обозначения:  $\sigma$  — статистическая ошибка; R — коэффициент детерминации; F — коэффициент Фишера; p — уровень достоверного различия.

Проверка адекватности регрессионных моделей прогноза показало, что повышение F-отношения и увеличение коэффициента детерминации при сравнимых статистических ошибках, свидетельствуют о повышении уровня адекватности регрессионных моделей, построенных на выборке, подвергшейся предварительной обработке.

Далее полученные результаты расчетов анализируются и на основе общепринятых градаций $^{27}$  вырабатываются рекомендации.

В зависимости от значений индекса Z прогнозируется уровень магнитной бури, на объекте управления производится выбор частоты передачи сигнала, которая обеспечивает устойчивость радиосвязи.

Преимуществами предлагаемого подхода прогнозирования является отсутствие процедур экстраполяции, т.е. точность прогноза индексов Z не зависит от срока прогнозирования.

#### IV. ВЫВОДЫ

Результаты проведенного исследования позволяют сделать следующие выводы:

 $<sup>^{27}</sup>$  Назаров А.И. Прогнозирование H — индекса геомагнитной активности на основе влияния сил гравитации планет солнечной системы». "Innovations in Science and Technologies" scientific electronic journal ISSN: 3030-3451 <u>www.innoist.uz</u>. Volume 2, №2, Fevral, 2025. C. 259-268.

- 1. Системный анализ геомагнитной активности показал, что имеется влияние сил гравитации планет солнечной системы на индексы геомагнитной активности.
- 2. Предварительная обработка показала, что медианная предобработка экспериментальных данных повысила устойчивость регрессионных моделей.
- 3. Произведен расчет сумм проекций результирующей силы гравитации сил планет Солнечной системы и определены их корреляционные связи с индексом Z.
- 4. Разработаны статистические модели долгосрочного прогноза индекса Z трехчасового разрешения на основе суммы проекций результирующей силы гравитации планет Солнечной системы.
- 5. Разработаны алгоритмы и программа по прогнозированию индекса Z на основе их корреляционных связей со значениями суммы проекций гравитационных сил планет Солнечной системы.

В периоды магнитных бурь рекомендуется скорректировать максимальную применимую частоту радиосигнала для обеспечения устойчивости коротковолновой связи.

#### **V. СПИСОК ЛИТЕРАТУРЫ**

- 1. Амиантов А. С., Зайцев А. Н., Одинцов В. И., Петров В. Г. Вариации магнитного поля Земли. М., 2001.
- 2. Константиновская Л.В. Положение планет и долгосрочное прогнозирование. Математические методы анализа цикличности в геологии, вып.6, РАЕН, М., 1994, с.113–117.
- 3. Назаров А.И. Прогнозирование чисел Вольфа без процедур экстраполяции. "Innovations in Science and Technologies" scientific electronic journal ISSN: 3030-3451 <a href="www.innoist.uz">www.innoist.uz</a>. Volume 1 6 OCTOBER, 2024.
- 4. Cartwright D.E., Tayler R.I. New Computations of the Tide–generating Potential. Geophys. J. Roy. Astron. Soc., 23, 45–47 (1971).
- 5. Назаров А.И. Прогнозирование H индекса геомагнитной активности на основе влияния сил гравитации планет солнечной системы». "Innovations in Science and Technologies" scientific electronic journal ISSN: 3030-3451 <a href="https://www.innoist.uz">www.innoist.uz</a>. Volume 2,  $\mathbb{N}_2$ , Fevral, 2025. C. 259 268.